



## کانی‌شناسی و نحوه تشکیل کانی‌های گروه سرپانتینیت‌های آمیزه‌ی افیولیتی بافت در استان کرمان

حمید احمدی‌پور<sup>\*</sup>، نادیه محمدی

بخش زمین‌شناسی، دانشگاه شهید باهنر، کرمان، ایران

(دریافت مقاله: ۸۹/۹/۶، نسخه نهایی: ۹۰/۲/۱۰)

**چکیده:** هر سه چندربختی سرپانتین (لیزاردیت، کریزوتویل و آنتی‌گوریت) در سرپانتینیت‌های آمیزه‌ی افیولیتی بافت دیده می‌شوند و از نظر بافت و ترکیب شیمیایی، تفاوت‌هایی با یکدیگر دارند. لیزاردیت با ساختار ورقه‌ای در زمینه‌ی پریدوتیت‌ها دیده می‌شود، در حالی که آنتی‌گوریت به صورت تیغه‌ای در رگه‌ها یا در محل زون‌های بُرشی تشکیل شده و گسترش کریزوتویل به صورت رشته‌های شفاف و طلایی، فقط محدود به شکاف‌های ریز است. پریدوتیت‌های منطقه، بر اساس درجه‌ی سرپانتینیتی‌شدن به سه گروه پریدوتیت‌های نسبتاً سرپانتینیتی‌شده (حداکثر ۵۰ درصد)، پریدوتیت‌های بیشتر سرپانتینیتی‌شده (۵۰-۹۰ درصد) و پریدوتیت‌های کاملاً سرپانتینیتی‌شده (۹۰-۱۰۰ درصد) تقسیم می‌شوند. سه مدل برای سرپانتینیتی‌شدن الیوین در سرپانتینیت‌های منطقه، تشخیص داده شدند. مدل اول، سرپانتینیتی‌شدن در پیرامون دانه‌های الیوین و باقی‌ماندن الیوین سالم در وسط که در پریدوتیت‌های نسبتاً سرپانتینیتی‌شده منطقه، گسترش سرپانتینیتی‌شدن دوباره در الیوین‌های باقی‌مانده از مدل اول و مدل سوم، و گسترش سرپانتینیتی‌شدن تا ازبین‌رفتن کامل دانه‌های الیوین. مدل دوم و سوم در پریدوتیت‌های بیشتر سرپانتینیتی‌شده و پریدوتیت‌های کاملاً سرپانتینیتی‌شده‌ی منطقه، دیده می‌شوند. به‌نظر می‌رسد که لیزاردیت و کریزوتویل موجود، محصول دگرسانی استاتیک وابسته به محیطی مانند کف اقیانوس هستند، در حالی که آنتی‌گوریت‌های تیغه‌ای، از دگرگونی دینامیکی شکل گرفته‌اند. ممکن است تشکیل آنتی‌گوریت وابسته به فرورانش پوسته‌ی اقیانوسی نائین-بافت و بسته‌شدن آن، به فرارانش پریدوتیت‌های سرپانتینیتی‌شده در زمان‌های بعدی وابسته باشد، اما لیزاردیت و کریزوتویل، احتمالاً پیش از بسته‌شدن اقیانوس کوچک نائین-بافت تشکیل شده‌اند.

**واژه‌های کلیدی:** آمیزه‌ی افیولیتی بافت؛ آنتی‌گوریت؛ سرپانتینیت؛ لیزاردیت؛ کریزوتویل.

بررسی آن‌ها، به راحتی از یک مقیاس رخمنوی به مقیاس جهانی انتقال می‌یابد [۲]. در این کار پژوهشی، با بررسی دقیق کانی‌های گروه سرپانتین (لیزاردیت، کریزوتویل و آنتی‌گوریت) از نظر بافت، سن و ترکیب شیمیایی، تاریخچه‌ی احتمالی گذشته‌ی سرپانتینیت‌های موجود در آمیزه‌ی افیولیتی بافت، از زمان تشکیل تا کنون، بازسازی شده است.

**مقدمه**  
استقبال از بررسی و توجه به کانی‌های سرپانتین، به‌شدت در حال افزایش است، زیرا وجود کانی‌های سرپانتین، دلیلی برای آب‌گیری گوشه و چرخه‌ی آب در عمق زمین است [۱]. از آنجا که سرپانتینیت‌ها ردپایی از تاریخچه‌ی خود را نگه می‌دارند، بررسی دقیق آن‌ها امری مهم است و به‌دلیل وجود الگوهای مکرر تغییرشکل در سرپانتینیت‌ها، نتایج حاصل از

\* نویسنده مسئول، تلفن: ۰۹۳۹۰۷۷۸۱۷۷، نامبر: ۳۲۲۲۰۴۵ (۰۳۴۱)، پست الکترونیکی: hahmadi@mail.uk.ac.ir

ترکیب شیمیایی سریانتین‌ها، از ریز پردازندگی الکترونی استفاده شد (جدول ۱). آنالیزها با میکروسکوپ الکترونی مدل JEOL JXA 8900 SUPERPROBE ۱۵ کیلووات و جریان پرتوی ۱۵ نانوآمپر و قطر ۵ میکرومتر در دانشگاه مونستر آلمان انجام شدند.

**روش‌های بررسی**  
کارهای انجام شده، شامل بررسی‌های صحرایی، آزمایشگاهی (میکروسکوپی و SEM) و ژئوشیمیایی است. عکسبرداری از این مقاطع با میکروسکوپ الکترونی مدل LEO 1530 (EHT=15.00 kV, Mag = 2.00KX, signal A = BSD) در دانشگاه کارلسروهه آلمان صورت گرفت. بهمنظور تعیین

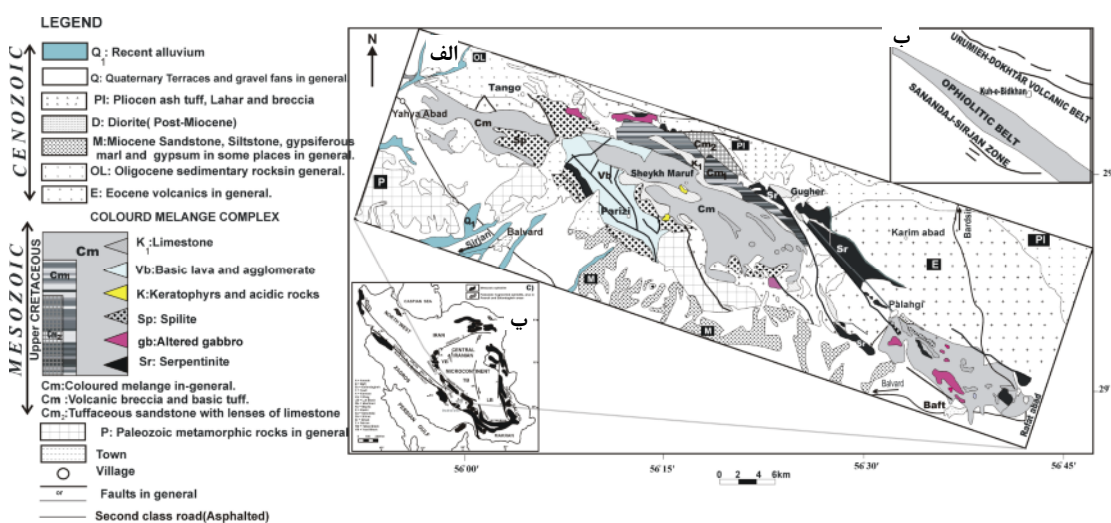
جدول ۱ نتایج تجزیه‌ی ریز پردازش الکترونی برخی از انواع سریانتین و کلریت‌های موجود در پریدوتیت‌های سریانتینیتی شده‌ی آمیزه افیولیتی بافت (محاسبه فرمول کانی‌ها بر اساس ۷ اکسیژن و ۵ کاتیون می‌باشد).

|                                | لیزاردیت |       |       |       | باسنت |       |       |       | آنٹی‌گوریت |       |       |       | کریزوتیل |       |  | کلریت |  |
|--------------------------------|----------|-------|-------|-------|-------|-------|-------|-------|------------|-------|-------|-------|----------|-------|--|-------|--|
|                                | H9       | H34   | H36   | H47   | H77   | H80   | H32   | H35   | H50        | H33   | H37   | H48   | D10      | D11   |  |       |  |
| SiO <sub>2</sub>               | ۴۰.۶۷    | ۴۲.۴۹ | ۴۳.۷۲ | ۴۳.۸۴ | ۴۲.۲۹ | ۴۱.۹۶ | ۴۲.۷۴ | ۴۲.۶۶ | ۴۲.۱۹      | ۴۱.۰۵ | ۴۴.۰۸ | ۴۲.۷۹ | ۳۱.۵۷    | ۳۰.۸۶ |  |       |  |
| TiO <sub>2</sub>               | ۰.۰۲     | ۰.۰۰  | ۰.۰۰  | ۰.۰۰  | ۰.۰۰  | ۰.۰۰  | ۰.۰۰  | ۰.۰۴  | ۰.۰۰       | ۰.۰۱  | ۰.۰۰  | ۰.۰۰  | ۰.۰۰     | ۰.۰۰  |  |       |  |
| Al <sub>2</sub> O <sub>3</sub> | ۰.۴۳     | ۰.۴۸  | ۰.۴۴  | ۰.۲۹  | ۰.۲۸  | ۰.۳۹  | ۰.۳۲  | ۰.۲۸  | ۰.۵۸       | ۰.۲۱  | ۰.۱۰  | ۰.۱۷  | ۰.۰۰     | ۰.۰۳  |  |       |  |
| Cr <sub>2</sub> O <sub>3</sub> | ۰.۰۰     | ۰.۵۳  | ۰.۰۲  | ۰.۰۳  | ۰.۰۰  | ۰.۰۳۰ | ۰.۰۰۲ | ۰.۰۲  | ۰.۰۱       | ۰.۰۲  | ۰.۰۰  | ۰.۰۰  | ۰.۰۰     | ۰.۰۰  |  |       |  |
| FeO                            | ۸.۱۲     | ۴.۸۹  | ۴.۴۷  | ۲.۶۲  | ۲.۸۶  | ۴.۴۸  | ۱.۸۸  | ۱.۱۰  | ۵.۵۷       | ۵.۴۰  | ۲.۵۷  | ۳.۷۹  | ۲۶.۳۰    | ۲۹.۰۳ |  |       |  |
| MnO                            | ۰.۱۴     | ۰.۰۸  | ۰.۰۷  | ۰.۲۰  | ۰.۰۸  | ۰.۰۷  | ۰.۱۰  | ۰.۰۶  | ۰.۰۸       | ۰.۰۸  | ۰.۰۵  | ۴     | ۰.۲۳     | ۰.۲۶  |  |       |  |
| MgO                            | ۳۳.۴۵    | ۳۷.۲۸ | ۳۸.۵۶ | ۳۷.۴۵ | ۳۹.۲۹ | ۳۸.۰۲ | ۳۶.۱۶ | ۳۵.۴۵ | ۳۶.۵۲      | ۳۸.۰۲ | ۳۹.۵۱ | ۳۹.۴۷ | ۲۹.۳۲    | ۲۸.۰۷ |  |       |  |
| CaO                            | ۰.۲۶     | ۰.۰۸  | ۰.۰۲  | ۰.۰۵  | ۰.۰۷  | ۰.۰۶  | ۰.۰۴  | ۰.۰۳  | ۰.۱۱       | ۰.۰۷  | ۰.۰۱  | ۰.۰۶  | ۰.۰۹     | ۰.۰۷  |  |       |  |
| Na <sub>2</sub> O              | ۰.۰۰     | ۰.۰۲  | ۰.۰۰  | ۰.۰۰  | ۰.۰۱  | ۰.۰۰  | ۰.۰۶  | ۰.۰۴  | ۰.۰۰       | ۰.۰۴  | ۰.۰۰  | ۰.۰۰  | ۰.۰۶     | ۰.۰۶  |  |       |  |
| K <sub>2</sub> O               | ۰.۰۲     | ۰.۰۲  | ۰.۰۲  | ۰.۰۱  | ۰.۰۰  | ۰.۰۳  | ۰.۰۰  | ۰.۰۲  | ۰.۰۷       | ۰.۰۰  | ۰.۰۱  | ۰.۰۳  | ۰.۰۳     | ۰.۰۳  |  |       |  |
| NiO                            | ۰.۵۲     | ۰.۱۵  | ۰.۱۹  | ۰.۱۹  | ۰.۵۵  | ۰.۴۸  | ۰.۱۱  | ۰.۰۲  | ۰.۲۴       | ۰.۵۷  | ۰.۴۴  | ۰.۵۵  | ۰.۰۴     | ۰.۱۰  |  |       |  |
| Totals                         | ۸۳.۶۴    | ۸۷.۰۱ | ۸۷.۵۱ | ۸۵.۷۰ | ۸۵.۶۳ | ۸۵.۵۱ | ۸۱.۳۷ | ۷۹.۷۲ | ۸۵.۳۰      | ۸۵.۴۵ | ۸۷.۷۷ | ۸۶.۸۷ | ۸۷.۶۴    | ۸۸.۴۵ |  |       |  |
| Oxygen(p.f.u)                  | ۷        | ۷     | ۷     | ۷     | ۷     | ۷     | ۷     | ۷     | ۷          | ۷     | ۷     | ۷     | ۷        | ۷     |  |       |  |
| Si                             | ۲.۰۶     | ۲.۰۸  | ۲.۰۸  | ۲.۱   | ۲.۰۳  | ۲.۰۳  | ۲.۱۶  | ۲.۲۰  | ۲.۰۶       | ۲.۰۰  | ۲.۰۹  | ۲.۰۳  | ۱.۶۲     | ۱.۶۰  |  |       |  |
| Ti                             | ۰.۰۱     | ۰.۰۰  | ۰.۰۰  | ۰.۰۰  | ۰.۰۰  | ۰.۰۰  | ۰.۰۰  | ۰.۰۰  | ۰.۰۰       | ۰.۰۰  | ۰.۰۰  | ۰.۰۰  | ۰.۰۰     | ۰.۰۰  |  |       |  |
| Al                             | ۰.۰۳     | ۰.۰۳  | ۰.۰۳  | ۰.۰۲  | ۰.۰۲  | ۰.۰۲  | ۰.۰۲  | ۰.۰۲  | ۰.۰۳       | ۰.۰۱  | ۰.۰۱  | ۰.۰۱  | ۰.۰۰     | ۰.۰۰  |  |       |  |
| Fe <sup>3+</sup>               | ۰.۰۰     | ۰.۰۰  | ۰.۰۰  | ۰.۰۰  | ۰.۰۰  | ۰.۰۰  | ۰.۰۰  | ۰.۰۰  | ۰.۰۱       | ۰.۰۰  | ۰.۰۰  | ۰.۱۰  | ۰.۰۰     | ۰.۰۵  |  |       |  |
| Cr                             | ۰.۰۰     | ۰.۰۲  | ۰.۰۰  | ۰.۰۰  | ۰.۰۱  | ۰.۰۰  | ۰.۰۰  | ۰.۰۰  | ۰.۰۰       | ۰.۰۰  | ۰.۰۰  | ۰.۰۰  | ۰.۰۰     | ۰.۰۰  |  |       |  |
| Fe <sup>2+</sup>               | ۰.۳۴     | ۰.۲۰  | ۰.۱۸  | ۰.۱۵  | ۰.۱۲  | ۰.۱۸  | ۰.۰۸  | ۰.۰۵  | ۰.۲۳       | ۰.۲۱  | ۰.۱۰  | ۰.۱۵  | ۰.۳۵     | ۰.۴۰  |  |       |  |
| Mn                             | ۰.۰۱     | ۰.۰۰  | ۰.۰۰  | ۰.۰۱  | ۰.۰۰  | ۰.۰۰  | ۰.۰۰  | ۰.۰۰  | ۰.۰۰       | ۰.۰۰  | ۰.۰۰  | ۰.۰۰  | ۰.۰۰     | ۰.۰۰  |  |       |  |
| Mg                             | ۲.۵۳     | ۲.۶۶  | ۲.۷۲  | ۲.۷۰  | ۲.۸۱  | ۲.۷۴  | ۲.۷۳  | ۲.۷۲  | ۲.۶۶       | ۲.۷۵  | ۲.۸۰  | ۲.۸۰  | ۲.۲۴     | ۲.۱۵  |  |       |  |
| Ca                             | ۰.۰۱     | ۰.۰۰  | ۰.۰۰  | ۰.۰۰  | ۰.۰۰  | ۰.۰۰  | ۰.۰۰  | ۰.۰۰  | ۰.۰۱       | ۰.۰۰  | ۰.۰۰  | ۰.۰۱  | ۰.۰۰     | ۰.۰۰  |  |       |  |
| Ni                             | ۰.۰۰     | ۰.۰۰  | ۰.۰۰  | ۰.۰۰  | ۰.۰۰  | ۰.۰۰  | ۰.۰۰  | ۰.۰۰  | ۰.۰۰       | ۰.۰۰  | ۰.۰۰  | ۰.۰۱  | ۰.۰۰     | ۰.۰۱  |  |       |  |
| Na                             | ۰.۰۰     | ۰.۰۰  | ۰.۰۰  | ۰.۰۰  | ۰.۰۰  | ۰.۰۰  | ۰.۰۰  | ۰.۰۰  | ۰.۰۰       | ۰.۰۰  | ۰.۰۰  | ۰.۰۰  | ۰.۰۰     | ۰.۰۰  |  |       |  |
| K                              | ۰.۰۰     | ۰.۰۱  | ۰.۰۱  | ۰.۰۱  | ۰.۰۰  | ۰.۰۲  | ۰.۰۰  | ۰.۰۰  | ۰.۰۱       | ۰.۰۰  | ۰.۰۲  | ۰.۰۰  | ۰.۰۰     | ۰.۰۰  |  |       |  |
| tot.cat.                       | ۵        | ۵     | ۵     | ۵     | ۵     | ۵     | ۵     | ۵     | ۵          | ۵     | ۵     | ۵     | ۵        | ۵     |  |       |  |
| Mg#                            | ۰.۸۸     | ۰.۹۳  | ۰.۹۴  | ۰.۹۵  | ۰.۹۶  | ۰.۹۴  | ۰.۹۷  | ۰.۹۳  | ۰.۹۲       | ۰.۹۳  | ۰.۹۷  | ۰.۹۵  | ۰.۶۷     | ۰.۶۳  |  |       |  |

## بحث و بررسی

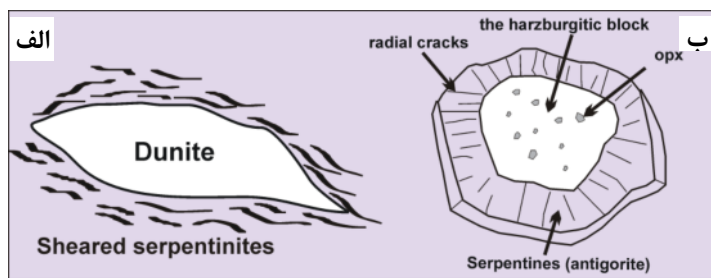
### محیط زمین‌شناسی آمیزه‌ی افیولیتی بافت

آمیزه‌ی افیولیتی بافت با مساحت تقریبی ۶۱۷ کیلومتر مربع بین طول‌های جغرافیایی  $55^{\circ} 55'$ ،  $56^{\circ} 0'$ ،  $47^{\circ} 5'$  و  $56^{\circ}$  و عرض‌های جغرافیایی  $14^{\circ} 29'$ ،  $14^{\circ} 36'$  در طول گسل‌های بافت و شهر بابک قرار دارد (شکل ۱). این افیولیت به عنوان یک آمیزه‌ی رنگین زمین‌ساختی مشکل از بلوک‌هایی از سنگ کره اقیانوسی که طی کرتاسه بالایی روی سنگ‌کره قاره‌ای رانده شد، در نظر گرفته شده است [۳-۵]. این آمیزه توسط زمین‌شناسان متعددی مورد بررسی قرار گرفته و آنرا یک محیط اقیانوسی باریک، همانند دریای سرخ دانسته‌اند که بین بلوک‌های سیزده است [۴] و عده‌ای دیگر آنرا به عنوان یک محیط وابسته به فرورانش تنتیس به سن کرتاسه در نظر گرفته‌اند [۵] و برخی دیگر نیز یک حوضه‌ی پشت کمان به سن کرتاسه پایانی معرفی کرده‌اند [۶]. این آمیزه، با روند شمال غربی-جنوب شرقی بین کمریند آتش‌فشانی ارومیه-دختر و زون دگرگونی سندنج-سیرجان قرار گرفته است (شکل ۱ ب). سرپانتینیت‌های مورد بررسی هم به صورت رخمنون‌های بزرگ و پراکنده و هم به صورت زمینه‌ای که واحدهای سنگی دیگر را احاطه کرده، با مساحت تقریبی ۴۴ کیلومتر مربع، در تمام طول آمیزه دیده می‌شوند.



شکل ۱ الف نقشه‌ی زمین‌شناسی آمیزه‌ی افیولیتی بافت با اقتباس از نقشه‌ی ۱۱۱: ۱۹۹۵) : ۱ سیرجان، شماره ۲۵۰۰۰۰ : ۲۵۰۰۰۰ شماره ۱۱۱: ۱۹۹۵) : ۱ سیرجان، شماره ۲۵۰۰۰۰ : ۲۵۰۰۰۰ شکل ۱ ب: موقعیت کمریند افیولیتی مورد بررسی بین دو زون ساختاری ارومیه-دختر و سندنج-سیرجان. پ: نقشه‌ی پراکنده افیولیت‌های ایران و موقعیت آمیزه‌ی رنگین مورد بررسی روی آن (نمونه‌ها به طور پراکنده از رخمنون‌های سرپانتینیتی برداشت شده‌اند). در تمامی شکل‌ها اختصارهای به کار گرفته شده به شرح زیر است:

atg = antigorite, chry = chrysotile, liz = lizardite, ol = olivine, opx = orthopyroxene, ref light = reflect light, xpl light = crossed polars light, SEM = Scanning Electron Microprobe



شکل ۲ الف- تصویر نموداری از یک قطعه دونیتی سالم‌تر و کشیده که با سرپانتینیت‌های شیستوز در بر گرفته شده است. ب- تصویر نموداری از قلوه هارزبورژیتی با ارتوبیروکسن‌های سالم‌تر که با آنتی‌گوریت احاطه شده است. (طول قطعه دونیتی و قطر تقریبی قطعه هارزبورژیتی برابر نیم متر است).

تشکیل شده‌اند. بافت‌های اولیه‌ی موجود در آن‌ها بافت دانه‌ای و پورفیروکلاستی است و آثار تغییرشکل‌های حاصل از فشارهای گوشه‌ای را نشان می‌دهند. از آنجا که شدت سرپانتینیتی‌شدن در پریدوتیت‌های منطقه، متفاوت است، سنگ‌های پریدوتیتی این منطقه، بر اساس درجه‌ی سرپانتینیتی‌شدن، به سه گروه زیر تقسیم شده‌اند:

- ۱- پریدوتیت‌هایی که سرپانتینیتی‌شدن در آن‌ها حداقل ۵۰ درصد است. در این دسته از سنگ‌ها ارتوبیروکسن‌های سالم و بقایای الیوین‌های سالم دیده می‌شوند.
- ۲- پریدوتیت‌هایی که سرپانتینیتی‌شدن در آن‌ها بین ۵۰-۹۰ درصد است. در این گروه، الیوین‌ها کاملاً سرپانتینیتی شده‌اند، ولی ارتوبیروکسن‌ها تقریباً سالم هستند.
- ۳- پریدوتیت‌هایی که ۹۰-۱۰۰ درصد سرپانتینیتی شده‌اند. در این گروه، علاوه بر این‌که الیوین‌ها کاملاً از بین رفته‌اند، ارتوبیروکسن‌ها نیز کاملاً باستیتی شده‌اند.

کاملاً از دگرسانی سرپانتین حاصل از تجزیه ارتوبیروکسن است [۷] و از نظر خواص نوری تقریباً مشابه با لیزاردیت است؛ ولی از نظر بافتی کاملاً با لیزاردیت متفاوت است و از خصوصیات اولیه ارتوبیروکسن پیروی می‌کند که در بحث تشکیل باستیت بیشتر به این مسئله اشاره خواهد شد. کریزوتیل و آنتی‌گوریت، سرپانتین‌هایی هستند که بیش‌تر به صورت رگه روی سرپانتین‌های قبلی رشد کرده‌اند.

از دگرسانی فراگیر پریدوتیت‌های منطقه، سرپانتینیتی‌شدن است. سرپانتینیتی‌شدن پریدوتیت‌های منطقه از پیرامون دانه‌های الیوین شروع شده و کانی لیزاردیت، را تشکیل داده و عموماً این تجزیه آنقدر ادامه یافته که دیگر هیچ الیوینی در سنگ باقی نمانده و در عوض کانی لیزاردیت با ساختار برگه‌ای، در سنگ گسترش یافته است (شکل ۳ الف). در پیروکسن‌ها نیز سرپانتینیتی‌شدن از پیرامون دانه‌ها شروع شده و به سمت مرکز دانه پیش‌روی می‌کند [۷]. دومین کانی گروه سرپانتین در این سنگ‌ها، آنتی‌گوریت است. این کانی به صورت رشتہ‌ای و کشیده در رگه‌ها، یا در محل زون‌های بُرُشی، یا در آینه‌های گسلی و گاهی در پیرامون قطعات بیضی‌شکل تشکیل شده است (شکل ۳ ب). شکل ۳ ب نمونه‌ی آنتی‌گوریتی را نشان می‌دهد که پیرامون هارزبورژیتی قلوه‌ای شکل ۲ ب تشکیل شده است. سومین سرپانتین گسترش یافته در این سنگ‌ها، کریزوتیل است و گسترش آن فقط محدود به بازشگی‌ها و شکاف‌های خیلی‌ریز (حداکثر ۱ سانتی‌متر) است. رشتہ‌های کریزوتیلی در این سنگ‌ها به صورت شفاف و طلایی‌رنگ و یا گاهی سبز کمرنگ دیده می‌شوند (شکل ۳ ب).

**بررسی‌های میکروسکوپی**  
پریدوتیت‌های منطقه‌ی مورد بررسی، اساساً از الیوین، ارتوبیروکسن، کلینوبیروکسن و بهمیزان کمی کروماسپینل



شکل ۳ الف- لیزاردیت‌های توده‌ای با رنگ سفید تا سبز کمرنگ در سنگ مادر دونیتی. ب- آنتی‌گوریت‌های تیغه‌ای تشکیل شده در اطراف قطعات بیضی‌شکل و کشیده مربوط به شکل ۲-ب. پ- رشد رشتہ‌های نازک و شفاف کریزوتیل‌های طلایی‌رنگ در رگه‌ی موجود در سنگ مادر هارزبورژیتی.

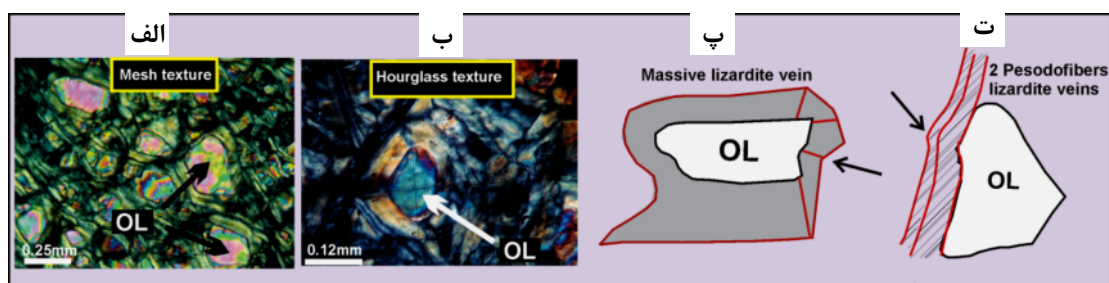
سنگ‌ها، از نظر بافتی، شبیه الیوین‌های موجود در سرپانتینیت‌های بخش جنوبی ماریانا در قوس ژاپن هستند [۹]. در واقع شکستگی‌های اولیه در بلورهای الیوین که بافت کرنل (Kernel) را می‌سازند [۱۰]، زمینه را برای شروع تجزیه الیوین فراهم می‌کنند و شروع سرپانتینیت‌شدن دانه‌های الیوین از محل همین شکستگی‌هاست. بسته به نوع شکستگی‌های اولیه در الیوین، پس از سرپانتینیت‌شدن، در الیوین ۳ نوع بافت متفاوت می‌تواند ایجاد شود که عبارتند از:

(الف) بافت شبکه‌ای (Mesh texture) و ساعت شنی (Hourglass texture) که در محل شکستگی‌های شعاعی، منظم و یا نامنظم اولیه در الیوین، ایجاد شده‌اند (شکل ۴ الف و ب به ترتیب). شکستگی‌های نامنظم تشکیل بافت شبکه‌ای و شکستگی‌های منظمتر، بافت ساعت شنی را می‌سازند [۸]. سرپانتین حاصل از این بافتهای لیزاردیت است و تفاوت این دو بافت در شکل ظاهری آن‌هاست که در شکل ۴ الف و ب (به ترتیب) نشان داده شده‌اند. شکل رگه‌های لیزاردیتی پیرامون الیوین، کاملاً از شکل اولیه‌ی بلور پیروی کرده و به موازات فرورفتگی‌ها (شکل ۴ پ) و یا برجستگی‌های (شکل ۴ ت) آن رشد کرده‌اند. شکل ۵ الف تصویر SEM بافت شبکه‌ای و شکل ۵ ب تصویر نموداری شبیه فیبرهای لیزاردیتی در بافت شبکه‌ای را نشان می‌دهد.

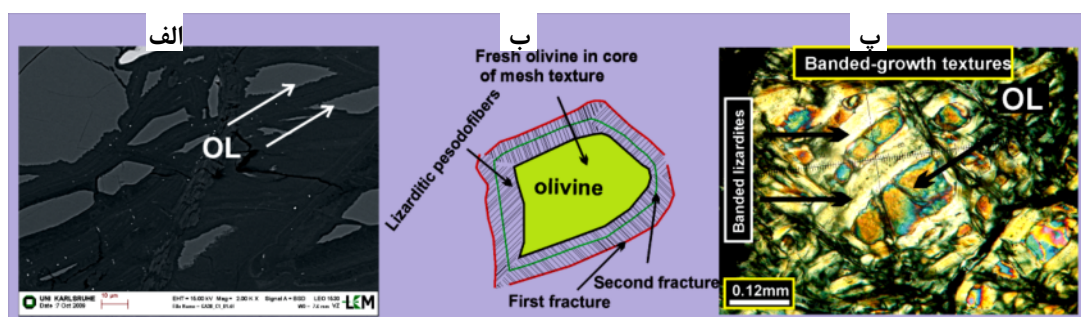
(ب) بافت نواری (Banded-growth texture): هرگاه شکستگی‌های اولیه در دانه‌های الیوین به صورت منظم و موازی ایجاد شده باشد، سرپانتینیت‌شدن و تشکیل رگه‌های لیزاردیت نیز به موازات همین شکستگی‌های منظم صورت می‌گیرد و در نهایت بافت‌های نواری بسیار منظمی را می‌سازند (شکل ۵ پ). Francis [۱۱] این بافت را با اصطلاح‌های رشد نواری و یا رشد دیواره مانند معرفی کرده و آن را مجموعه‌ای از رگه‌های دو قسمتی تقریباً موازی با یکدیگر می‌داند.

سرپانتینیت‌شدن الیوین و تشکیل لیزاردیت: Wicks و همکاران [۸]، سه مدل را برای سرپانتینیت‌شدن الیوین در نظر گرفته‌اند و در سرپانتینیت‌های منطقه، با افزایش درجهٔ سرپانتینیت‌شدن، این سه مدل، تشخیص داده شدند که به شرح زیرند: مدل اول: گسترش سرپانتینیت‌شدن پیرامون دانه الیوین و باقی‌ماندن الیوین سالم در وسط. این مدل با گسترش بافت شبکه‌ای و بافت ساعت شنی همراه است (سرپانتینیت‌شدن الیوین در سنگ‌های گروه ۱). مدل دوم: گسترش دوباره‌ی سرپانتینیت‌شدن در الیوین‌های باقی‌مانده از مدل اول. این حالت پس از سرپانتینیت‌شدن دوباره، در الیوین‌ها رخ می‌دهد و با گسترش بافت شبکه‌ای و بافت ساعت شنی همراه است (سرپانتینیت‌شدن الیوین در سنگ‌های گروه ۲ و ۳). مدل سوم: گسترش سرپانتینیت‌شدن تا ازبین‌رفتن کامل دانه‌ی الیوین. این مورد با ایجاد بافت ساعت شنی، نواری و به میزان کمتری بافت شبکه‌ای همراه است (سرپانتینیت‌شدن الیوین در سنگ‌های گروه ۲ و ۳).

مدل پیشنهادی برای سرپانتینیت‌شدن الیوین‌های موجود در سنگ‌های گروه اول منطقه، مدل ابتدایی است که توسط Wicks و همکاران [۸]، ارائه شد و در بالا به آن شده است. بافت اولیه الیوین‌ها، دانه‌ای بوده و به شدت شکسته و خردشده‌اند و در مرز شکستگی‌های آن‌ها لیزاردیت در حال تشکیل است. لیزاردیت، سرپانتینی است که در راستای دانه‌های الیوین به صورت توده‌ای و یا رشته‌های شبیه فیبری تشکیل می‌شود و رنگ‌های تداخلی سری اول (خاکستری، نارنجی و زرد کمرنگ) را نشان می‌دهد و معمولاً دارای خاموشی موجی است. مرز بین لیزاردیت‌های حاشیه‌ای و هسته‌های الیوین سالم در وسط بافت شبکه‌ای، مستقیم و ناگهانی است و دانه‌های الیوین کاملاً یکسان هستند. این مسئله نشان می‌دهد که بلورهای مورد نظر، قطعات شکسته‌شده یک بلور الیوین درشت اند. الیوین‌های این گروه از



شکل ۴ الف- بافت شبکه‌ای در سنگ مادر هارزبورزیتی (در نور تداخلی). ب- بافت ساعت شنی در سنگ مادر دونیتی با هسته الیوینی که هنوز به سرپانتین تبدیل نشده است (در نور متقاطع). پ- تصویر نموداری از چگونگی رشد رگه لیزاردیت توده‌ای در محل فرورفتگی دانه الیوین. ت- تصویر نموداری از چگونگی رشد رگه شبیه فیبری لیزاردیت در محل برجستگی الیوین.

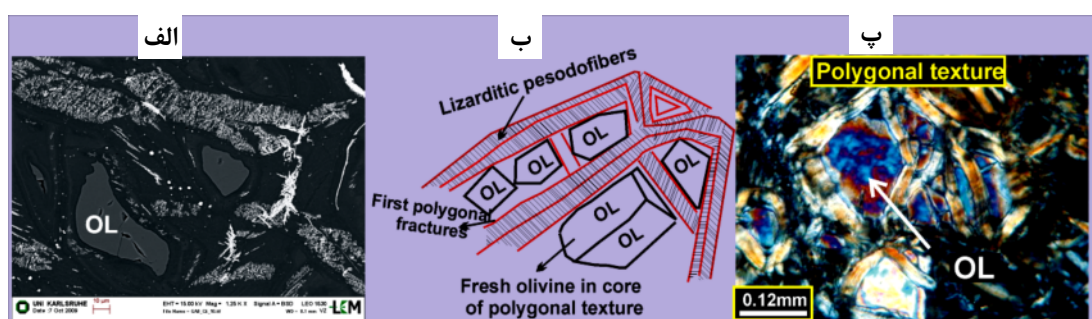


شکل ۵ الف- بافت شبکه‌ای در تصویر SEM. ب- تصویر نموداری از چگونگی رشد شبکه‌های لیزاردیتی در اطراف بافت شبکه‌ای. پ- نمایی از بافت نواری در سنگ مادر دونیتی سرپانتینیتی شده (در نور تداخلی).

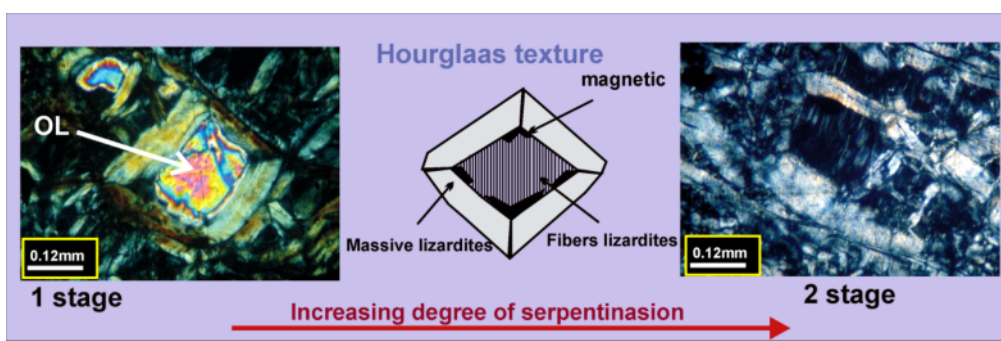
سنگ‌ها، الیوین‌های باقیمانده در میان بافت‌های شبکه‌ای، ساعت شنی، چندوجهی و یا نواری، دوباره تحت تأثیر فرایند سرپانتینیتی شدن قرار گرفته‌اند و به‌طور کامل از بین رفته‌اند، به‌طوری‌که هیچ دانه‌ی الیوین سالمی در سنگ باقی نمانده و با سرپانتین، بروسیت، مگنتیت و یا تالک جایگزین شده‌اند. سرپانتینیتی شدن در پیرامون بافت‌های شبکه‌ای و یا چندوجهی مانند سنگ‌های گروه قبل با تشکیل شبکه‌ی فیبری و یا دانه‌های لیزاردیتی همراه بوده است، ولی چگونگی سرپانتینیتی شدن در میان این بافت‌ها متفاوت است، زیرا در این نقاط بقایای الیوین، قرار داشته که با پیشرفت سرپانتینیتی شدن این الیوین‌های ریزدانه نیز تجزیه شده‌اند. در شکل ۷ چگونگی تشکیل بافت ساعت شنی نشان داده شده است. در این شکل در مرحله‌ی اول، لیزاردیت با تشکیل شبکه‌ی فیبرهای بسیار ظرفی (با رنگ تداخلی نارنجی) به سمت مرکز دانه الیوین پیش روی کرده است. سپس سرپانتینیتی شدن و تشکیل شبکه‌ی فیبرهای لیزاردیتی متوقف شده (احتمالاً به‌دلیل تمام شدن شاره) و باقی‌مانده‌ی دانه‌های الیوین در وسط، سالم مانده‌اند. سپس با نفوذ شاره‌ی جدید که ترکیب متفاوتی دارد،

ج) بافت چندوجهی (Polygonal texture): هنگامی که شکستگی‌های اولیه در الیوین از نوع چندوجهی باشد، بافت حاصل از سرپانتینیتی شدن، نیز از نوع چندوجهی خواهد بود (شکل ۶ الف)، تصویر SEM. با برداشته شدن فشار و افزایش حجم سنگ‌های پریدوتیتی، شکستگی‌های منظم و چندوجهی در الیوین ایجاد می‌شود [۱۰]. با ورود شاره به درون شکستگی‌ها، تجزیه‌ی الیوین شروع و رگه‌های لیزاردیت در راستای شکستگی‌ها، شروع به رشد می‌کنند (شکل ۶ ب). با نفوذ دوباره‌ی شاره به درون شکستگی‌ها و ادامه فرایند سرپانتینیتی شدن، لیزاردیت، با همان روند قبلی رشد و به‌سمت مرکز الیوین پیش روی می‌کند. این چرخه آنقدر ادامه می‌یابد که یا هیچ الیوینی باقی نماند و یا شاره تمام شود. رشد چند مرحله‌ای لیزاردیت یک منطقه‌بندی ساختاری را ایجاد می‌کند که اغلب با وجود رگه‌های مگنتیتی مشخص می‌شود (شکل ۶ ب و پ).

مدل پیشنهادی برای سرپانتینیتی شدن الیوین‌های موجود در سنگ‌های گروه ۲ و ۳، مدل دوم و یا سوم از مدل‌های مطرح شده توسط Wicks و همکاران [۸] است. در این گروه از



شکل ۶ الف- بافت چندوجهی در تصویر SEM. ب- تصویر نموداری از چگونگی تشکیل بافت چندوجهی. پ- بافت چندوجهی در سنگ مادر هارزبورزیتی (در نور تداخلی).

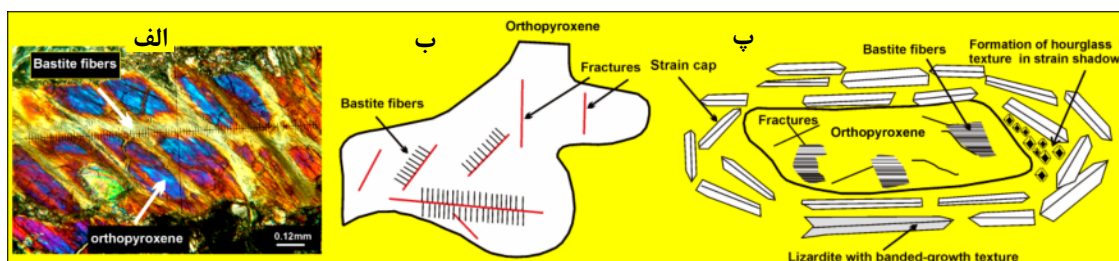


شکل ۷ افزایش درجهٔ سرپانتینیتی‌شدن در یک دانهٔ الیوین و تشکیل بافت ساعت شنی. لیزاردیت‌های توده‌ای خاکستری‌رنگ محصول اولین مرحلهٔ سرپانتینیتی‌شدن هستند و رشتهداری لیزاردیتی در وسط الیوین، محصول مرحلهٔ دوم سرپانتینیتی‌شدن هستند ( تصاویر در نور مقطعی هستند).

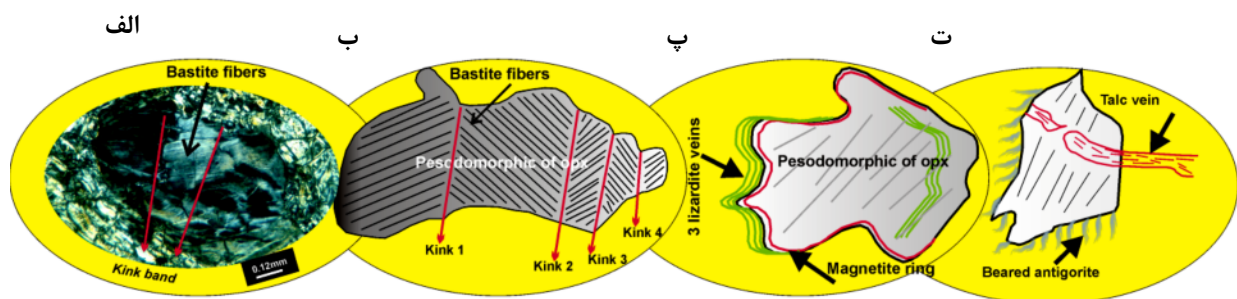
نشان می‌دهد. در شکل ۸ پ، مقاومت بالاتر ارتوبیوروکسن در برابر دگرسانی نسبت به الیوین نشان داده شده است. در این موارد ارتوبیوروکسن مانند یک پورفیروکلاست عمل کرده و نوارهای لیزاردیتی اطراف در محل کلاهک کرنشی (strain cap) به موازات شکل اولیه ارتوبیوروکسن، قرار گرفته‌اند. در شکل ۹ الف با توجه به چگونگی رشد رشتهداری باستیتی، می‌توان شکن‌های اولیه ارتوبیوروکسن را تشخیص داد زیرا راستای رشد رشتهداری باستیت از راستای نوار کرنشی اولیه پیروی کرده است. شکل ۹ ب نیز تصویر نموداری شکل ۹ الف را نشان می‌دهد. گاهی در هنگام باستیتی‌شدن ارتوبیوروکسن، آهن اضافی حاصل از باستیتی‌شدن در قالب دانه‌های ریزی در حاشیه ارتوبیوروکسن قرار می‌گیرد و سبب تشکیل یک حلقه‌ی نازک مگنتیتی در اطراف ارتوبیوروکسن می‌شود که شکل اولیه آن را کاملاً حفظ می‌کند (شکل ۹ پ). چنین مسئله‌ای قبلًاً توسط Wicks & Wittaker [۱۲] نیز گزارش شده است. برخی از این شبه ریخت‌ها بعداً به وسیلهٔ آنتی‌گوریت‌های ریشه‌مانند در بر گرفته و باعث حفظ شکل اولیه شده‌اند (شکل ۹ ت). وجود آنتی‌گوریت‌های ریشه‌مانند قبلًاً توسط Moore و همکاران [۱۳] نیز معرفی شده است.

سرپانتینیتی‌شدن دوباره شروع می‌شود و این‌بار الیوین باقی-مانده در وسط از بین رفته و لیزاردیت با رشتهداری بلندتر و رنگ متفاوت (رنگ تداخلی تیره‌تر از لیزاردیت تشکیل شده در مرحلهٔ اول و غالباً خاکستری تیره) تشکیل شده است. تشکیل لیزاردیت در بخش مرکزی (به صورتی که در شکل ۷ می‌بینیم) می‌تواند به عواملی همچون تفاوت ترکیب شاره در این مرحله نسبت به مرحلهٔ قبل، تفاوت شرایط دما و فشار حاکم در حین انجام واکنش و یا تفاوت ترکیب الیوین در مرکز مشابه با آن دسته از پریدوتیت‌های گوشته‌ای افیولیت عمان است که ۶۰ درصد سرپانتینیتی‌شدن را تحمل کرده و شامل بافت‌های شبکه‌ای و شبه ریختی حاوی رگه‌های کریزوتویل و مگنتیت هستند [۱].

دگرسانی ارتوبیوروکسن و تشکیل باستیت: در سنگ‌های مورد بررسی، بلورهای ارتوبیوروکسن، معمولاً از اطراف یا در طول شکستگی‌ها، دگرسان و به باستیت و یا دیگر کانی‌های ثانوی تبدیل شده‌اند. در شکل ۸ الف، باستیتی‌شدن در راستای شکستگی‌های موجود شروع شده و باستیت به صورت رشتهداری از مرکز شکستگی به سمت مرکز ارتوبیوروکسن در حال رشد است. شکل ۸ ب تصویر نموداری، چگونگی رشد باستیت را



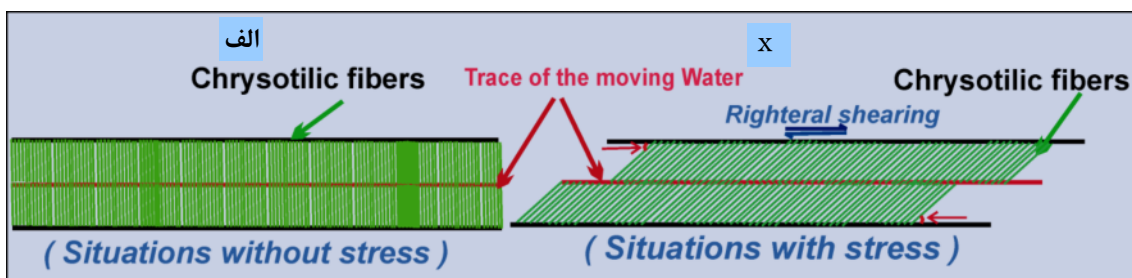
شکل ۸ الف- آغاز رشد رشتهداری باستیت در راستای شکستگی‌ها در بلور ارتوبیوروکسن (در نور تداخلی). ب- تصویر نموداری از آغاز رشد رشتهداری باستیت در راستای شکستگی‌ها در بلور ارتوبیوروکسن. پ- تصویر نموداری از تشکیل بافت نواری در اطراف ارتوبیوروکسن‌های موجود در منطقه.



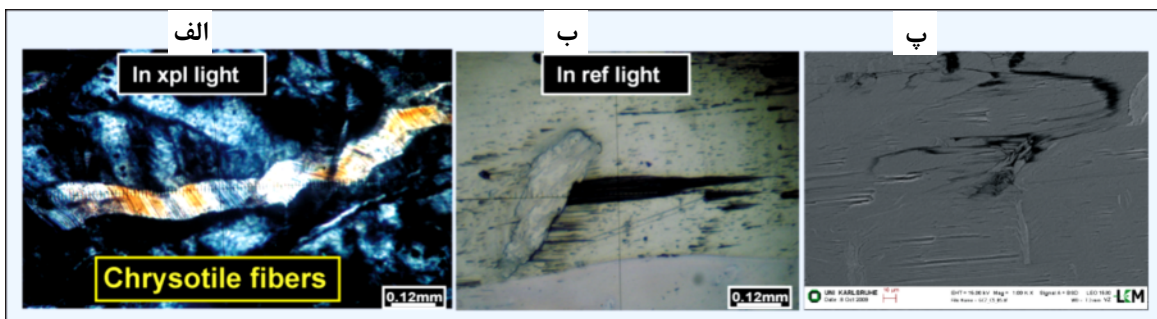
شکل ۹ الف- ارتوبیپروکسن باستیتی شبه ریخت که هنوز شکنج اولیه ارتوبیپروکسن در آن قابل تشخیص است (در نور متقاطع). ب- تصویر نموداری از چهار نوار شکنجی در یک ارتوبیپروکسن اولیه که رشتلهای باستیت در جهت انحنای شکنج‌های اولیه رشد کرده، ضمن این‌که خاموشی موجی را نیز حفظ کرده‌اند. پ- تصویر نموداری از تشکیل حلقه مگنتیتی در پیرامون ارتوبیپروکسن شبه ریخت و حفظ شکل اولیه ارتوبیپروکسن. رگه‌های لیزاردیتی بعدی نیز از همین الگو پیروی کرده‌اند. ت- رشد آنتی‌گوریت‌های ریشه‌مانند در اطراف ارتوبیپروکسن باستیتی شده و حفظ شکل اولیه آن.

**تشکیل آنتی‌گوریت:** در سرپانتینیت‌های منطقه دو نوع آنتی-گوریت دیده می‌شود؛ یکی آن‌هایی که با رشد در درون رگه‌ها، روی بافت‌های قبلی تشکیل شده‌اند (شکل ۱۲ الف) و دیگری آن‌هایی که زمینه را ساخته‌اند (شکل ۱۲ ب). کانی‌های آنتی-گوریت در این سنگ‌ها معمولاً با بافت تیغه‌ای، درهم‌پیچیده، به هم قفل شده (interlocking) و گاهی انبوهه‌های شعاعی دیده می‌شود و دارای رنگ‌های تداخلی خاکستری، سفید، آبی، نارنجی و یا زرد کمرنگ (سری اول) هستند و معمولاً نسبت به لیزاردیت و کریزوتویل بافت شاخص هر کدام از آن‌ها شناخته می‌شود؛ زیرا لیزاردیت فقط در اطراف دانه‌های الیوین و یا در وسط آن‌ها با ساختار توده‌ای و یا شبه فیبری همراه با بافت‌های شبکه‌ای، ساعت شنی، نواری و یا چندوجهی، و کریزوتویل نیز فقط به صورت رشتلهای بسیار نازک قائم و یا مورب در رگه‌ها دیده می‌شود؛ ولی آنتی‌گوریت دارای بافت‌های شاخص یادشده است. آنتی‌گوریت به صورت زمینه فقط در برخی از سنگ‌ها در دیده می‌شود و به نظر می‌رسد که این گروه از سنگ‌ها در شرایط دما و فشار بالاتری قرار گرفته‌اند [۱۵]. شدت سرپانتینیت‌شدن در این سنگ‌ها به حدی است که علاوه بر این‌که الیوین و ارتوبیپروکسن کاملاً از بین رفت، بافت‌های حاصل از دگرسانی الیوین و یا حتی شبه ریخت‌های ارتوبیپروکسن نیز باقی نمانده است. تمامی این بافت‌ها به وسیلهٔ کانی‌های حاصل از یک دگرگونی پیشرونده که به مرحله دیگری از فاز تغییرشکلی واپسیته است، پوشیده شده و کانی غالب این فاز تغییرشکلی آنتی‌گوریت است.

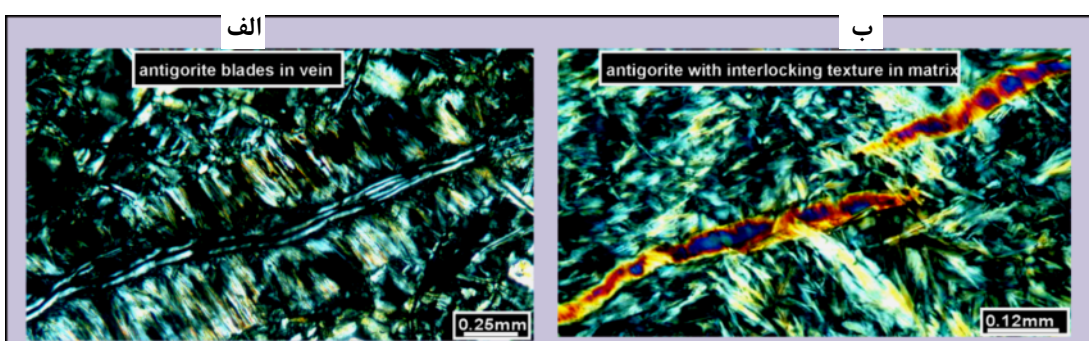
**رشد کریزوتویل:** رشد کریزوتویل زمانی در سنگ شروع می‌شود که دیگر هیچ الیوینی در سنگ باقی نمانده باشد، در این مرحله‌ی زمانی، کریزوتویل به صورت رشتلهای بسیار نازکی در رگه‌ها شروع به رشد می‌کند [۷]. به طور کلی دو نوع رشتلهای کریزوتویل در منطقه‌ی مورد بررسی دیده می‌شوند: یکی رشتلهای کریزوتویل قائم (شکل ۱۰ الف) و دیگری رشتلهای مورب (شکل ۱۰ ب). به نظر می‌رسد که کریزوتویل‌های قائم در شرایط بدون تنفس و کریزوتویل‌های نوع مورب، در شرایط وجود تنفس تشکیل شده‌اند [۱۶]. بررسی یک رگهی ضخیم کریزوتویلی موجود در سرپانتینیت هارزبورزیتی در نور تداخلی (شکل ۱۱ الف) و در نور بازتابی (شکل ۱۱ ب)، نشان می‌دهد که رشد رشتلهای ظریف کریزوتویل از یک طرف بازشدنگی به سمت دیگر آن است. در شکل ۱۱ ب، مشخص است که رشتلهای کریزوتویل برای هسته‌بندی و رشد به یک تکیه‌گاه نیاز دارند و هنگامی که بخواهند از سطح دیواره رشد کنند، از همان محل به عنوان تکیه‌گاه استفاده می‌کنند. به این نوع هسته‌بندی، هسته‌بندی ناهمگن می‌گویند [۱۶]. هرگاه بلورهای کوچک، تکیه‌گاهی برای رشد رشتلهای کریزوتویل بوده و از روی سطح بلورها به سمت دیگر دیواره رشد کرده‌اند (شکل ۱۱ ب). در تصویر SEM که از همین رگه تهیه شده نیز رشد در یک راستای رشتلهای کریزوتویلی مشخص است (شکل ۱۱ پ) که رشتلهای با اندازه‌ی طولی متفاوت به سمت دیگر دیواره در حال رشد هستند و برخی از آن‌ها کوتاهتر و برخی بلندترند و همین مسئله باعث شده که طرحی سینوسی نامنظم ایجاد کنند.



شکل ۱۰ الف- تصویر شماتیک از نحوه رشد رشته‌های کریزوتیلی قائم. ب- تصویر شماتیک از نحوه رشد رشته‌های کریزوتیلی مورب.



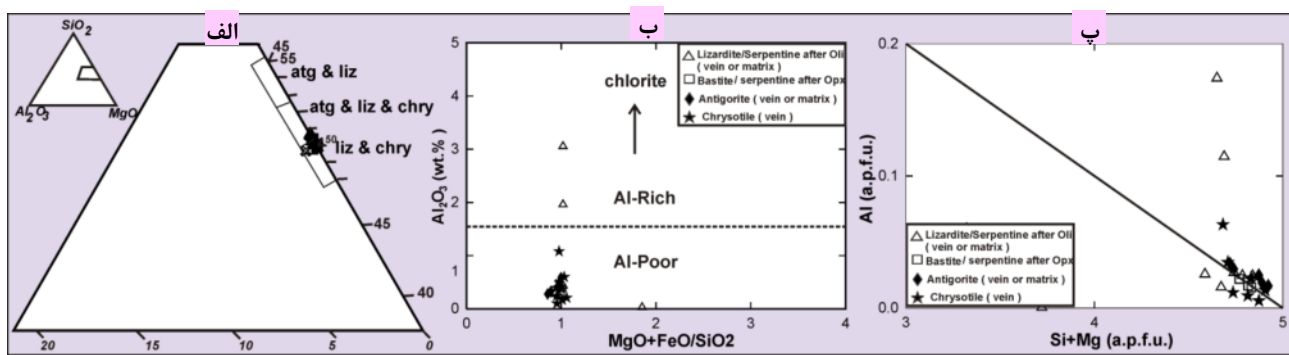
شکل ۱۱ الف- رشد رشته‌های کریزوتیل در یک بازشده‌گی موجود در سرپانتینیت با سنگ مادر هارزبورژیتی گروه ۳ (در نور متقاطع). ب- هسته-بندی و رشد رشته‌های کریزوتیل بر روی یک بلور کوچک موجود در یک شکاف در نور بازتابی. پ- تصویر SEM از رگه کریزوتیلی شکل ب که رشد غیر یکنواخت رشته‌ها (رشته‌های بلند و یا کوتاه کریزوتیل) اشکالی نوسان‌مانند و سینوسی نامنظم را ساخته‌اند.



شکل ۱۲ الف: رشد آنتی‌گوریت با بافت تیغه‌ای درون یک رگه (در نور تداخلی). ب: رشد آنتی‌گوریت با بافت درهم‌پیچیده در زمینه‌ی سرپانتینیتی. رشد تیغه‌های آنتی‌گوریت روی رگه‌ی کریزوتیلی موجود، نشان‌دهنده‌ی تشکیل آن‌ها در مرحله‌ی دیگری از فاز تغییر شکلی است (در نور متقاطع).

$\text{Al}_2\text{O}_3$  به دو دسته تقسیم کردند: یکی آن‌هایی که میزان  $\text{Al}_2\text{O}_3$  در آن‌ها کمتر از ۱,۵٪ است (فقری از آلومینیم)، و دیگری آن‌هایی که غنی از Al بوده و مقدار  $\text{Al}_2\text{O}_3$  در آن‌ها به بیش از ۷ درصد می‌رسد. بیشتر سرپانتین‌های موجود در منطقه جزء گروه اول قرار می‌گیرند (شکل ۱۳ ب). Al می‌تواند در ساختار کانی‌های فوق، جاشین Si و Mg شود. این مسئله با افزایش Al و کاهش Si و Mg مشخص می‌شود [۱۷]. در نمودار Al نسبت به Si و Mg (شکل ۱۳ پ)، این ارتباط منفی قابل تشخیص است.

شیمی کانی‌های سرپانتین موجود در آمیزه افیولیتی بافت سرپانتین‌های موجود در آمیزه‌ی افیولیتی بافت، از نظر ترکیب شیمیایی (جدول ۱)، به ۴ گروه تقسیم شده‌اند که عبارتد از: سرپانتین نوع لیزاردیت، سرپانتین‌های تشکیل شده از پیروکسن (پاستیت)، آنتی‌گوریت و کریزوتیل‌های رشته‌ای. با نشاندن نتایج تجزیه‌ی کانی‌های سرپانتینی بافت، بررسی بر روی نمودار شکل ۱۳ الف، تمامی نمونه‌ها در گستره‌ی پایداری هر سه فاز کانیایی گروه سرپانتین یعنی لیزاردیت، کریزوتیل و آنتی‌گوریت قرار می‌گیرند. Cairncross & Ashwal [۱۶] کانی‌های گروه سرپانتین را از نظر میزان

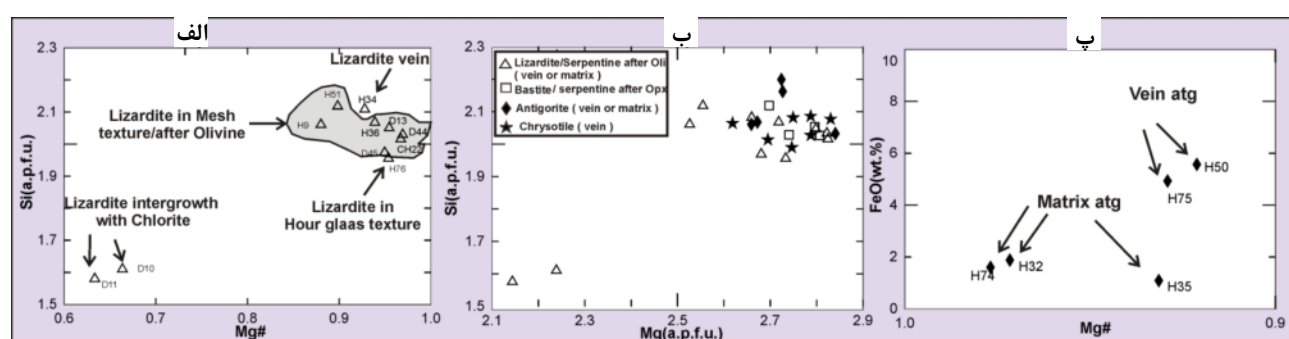


شکل ۱۳ الف- گستره‌ی پایداری کانی‌های گروه سرپانتین روی سیستم  $MgO\text{-}SiO_2\text{-}Al_2O_3$  [۲۵] و قرارگیری سرپانتین‌های منطقه مورد بررسی بر روی گستره‌ی پایداری هر سه فاز کانیایی گروه سرپانتین یعنی لیزاردیت، کریزوتویل و آنتی‌گوریت. ب- تقسیم‌بندی انواع سرپانتین‌ها بر اساس درصد وزنی  $Al_2O_3$  در مقابل  $MgO+FeO/SiO_2$  ( $MgO+FeO/SiO_2$ ) در سرپانتین‌های آمیزه‌ی رنگین مورد بررسی [۱۶]. پ- جانشینی  $Si$  و  $Mg$  با  $Al$  در کانی‌های سرپانتین منطقه‌ی مورد بررسی که با افزایش  $Al$  و کاهش  $Si$  و  $Mg$  مشخص است.

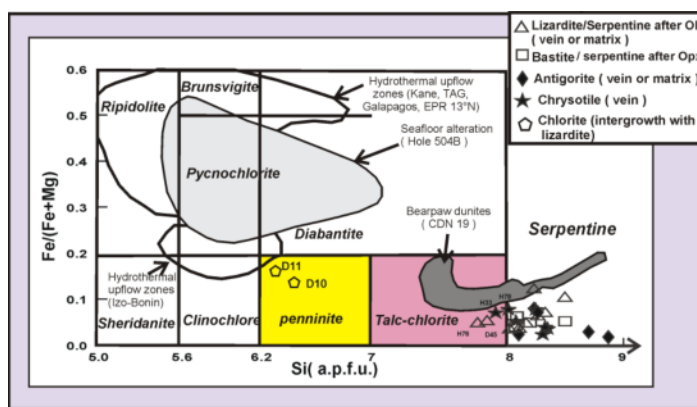
پنیتیت قرار می‌گیرد. یکی از این آنالیزها (شماره‌ی D10) به سرپانتین مجاور کروماسپینل وابسته است که در آن نقطه، سرپانتین به صورت همرشدی با کلریت دیده می‌شود و آنالیز دوم (D11) به یک رگه‌ی سرپانتین وابسته است که احتمالاً در این رگه نیز رشد هم‌زمان سرپانتین و کلریت صورت گرفته است.

از نظر ترکیب شیمیایی، کریزوتویل‌های منطقه دارای  $MgO$  بالاتری بوده (میانگین ۳۸٪) در حالی که میزان  $MgO$  در لیزاردیت و آنتی‌گوریت، به ترتیب برابر میانگین ۳۵.۵ و ۳۶.۴ است. هم‌چنین مقدار  $H_2O$  در کریزوتویل‌های منطقه (میانگین ۱۴.۶٪) کمتر از لیزاردیت و آنتی‌گوریت است؛ ولی از لحاظ مقدار  $SiO_2$  و یا  $FeO$  تقریباً مشابه با آنتی‌گوریت است (جدول ۱).

**لیزاردیت و کریزوتویل:** در شکل ۱۴ الف انواع لیزاردیتها بر اساس بافت‌شان از هم جدا شده‌اند که از نظر ترکیب شیمیایی، تفاوت‌هایی را نشان می‌دهند. مسئله قابل توجه در مورد لیزاردیتها منطقه، همرشدی برخی از آن‌ها با کلریت و یا تالک است که در بررسی‌های میکروسکوپی به راحتی قابل تشخیص نیست. برای آگاهی از وجود همرشدی لیزاردیت با کلریت از نمودار تقسیم‌بندی انواع کلریت [۱۸] استفاده شده است (شکل ۱۵)، زیرا فرمول ساختاری کلریت مشابه با سرپانتین است [۲]. Facer و همکاران [۲] نیز از این قاعده پیروی کرده‌اند و به نمودار گستره‌ی پایداری کانی‌های کلریت، گستره‌ی سرپانتین را نیز اضافه کرده و نمودار تلفیقی سرپانتین و کلریت را رسم کرده‌اند. با نشاندن نتایج در نمودار (شکل ۱۵)، ترکیب دو نمونه سرپانتینی در گستره‌ی کلریت نوع



شکل ۱۴ الف- تفاوت ترکیبی انواع لیزاردیتها موجود در منطقه‌ی مورد مطالعه در نمودار  $Si$ - $Mg\#$  نسبت به  $Mg\#$ - $Si$  در انواع سرپانتین‌های موجود در آمیزه‌ی رنگین مورد بررسی. ب- تفاوت ترکیبی در آنتی‌گوریت‌های نوع رگه‌ای و نوع زمینه در سرپانتین‌های منطقه.



شکل ۱۵ نمودار تلفیقی گستره‌ی پایداری کانی‌های گروه کلریت و سرپانتین موجود در سرپانتینیت‌های آمیزه‌ی افیولیتی بافت روی آن.

تصاویر SEM تهیه شده از انواع سرپانتین‌های منطقه، چگونگی تشکیل و مراحل سنی انواع کانی‌های گروه سرپانتین موجود در منطقه را می‌توان تشخیص داد. به نظر می‌رسد که لیزاردیت و کریزوتویل موجود، محصول دگرسانی استاتیک محیطی مانند کف اقیانوس هستند، در حالی که آنتی‌گوریت محصول دگرگونی در شرایط دما و فشاری بالاتری است [۱۵]. درواقع ترکیب انواع کانی‌های سرپانتین می‌تواند با محیط تشکیل، تبلور دوباره و جایگزینی آن‌ها تغییر کند [۲۱] که در بحث زیر به بررسی چگونگی تشکیل آن‌ها در شرایط یاد شده می‌بردازیم: سرپانتینیتی‌شدن درجای (static) پریدوتیت‌ها در کف اقیانوس و تشکیل لیزاردیت، کریزوتویل و باستیت:

Ghasemi & Talbot [۲۲] عقیده دارند منطقه‌ای که در این بحث مورد مطالعه قرار گرفته و امروزه به صورت ملانژ درآمده است، اقیانوسی به نام نائین-بافت وجود داشته است که در اواسط کرتاسه شروع به فرورانش به زیر ایران مرکزی کرده است و در پالئوسن بسته شده است. به احتمال زیاد تشکیل لیزاردیت، کریزوتویل و باستیت‌های منطقه وابسته به دگرسانی درجای اقیانوس نائین-بافت و قبل از بسته‌شدن آن باشد، زیرا بافت‌های جایگزینی اشکال دروغینی مانند سلول‌های شبکه‌ای و باستیت موجود در سنگ‌های آمیزه‌ی افیولیتی بافت، خاص واکنش‌های آب‌گیری قهقهایی است که در شرایط سرپانتینیتی-شدن ایستایی رخ می‌دهند [۱۲]، از طرف دیگر اشکال دروغین باستیتی با میزان کروم و آلومینیوم بالاتر که از تجزیه ارتوپیروکسن حاصل شده‌اند، نشان‌دهنده‌ی اولین مرحله‌ی سرپانتینیتی‌شدن پریدوتیت‌ها است [۲۳]. سرپانتینیتی‌شدن اولیه پریدوتیت‌های گوشه‌ای، احتمالاً در اثر نفوذ آب از

باستیت: بنابر پژوهش‌های Pelletier و همکاران [۱۹]، ترکیب عناصر سرپانتین، با سرپانتین‌های چند ریخت کنترل نمی‌شود، بلکه با ترکیب کانی‌های اولیه، مشخص می‌شود. کانی‌های سرپانتین حاصل از دگرسانی الیوین و یا پیروکسن، از نظر میزان برخی از اکسیدها تفاوت‌های چشمگیری نشان می‌دهند، برای مثال سرپانتین‌های تشکیل شده پس از الیوین در مقایسه با بلورهای تشکیل شده بعد از ارتوپیروکسن و کلینوپیروکسن (باستیت) دارای  $\text{Cr}_2\text{O}_3$  پایین‌تری هستند [۱۹]. همچنین میانگین Cr در باستیت‌های حاصل از دگرسانی ارتوپیروکسن در منطقه، کمتر از لیزاردیت‌هایی است که در بافت شبکه‌ای جایگزین الیوین شده‌اند و میزان Si باستیت‌های منطقه، نیز بالاتر از لیزاردیت است.

آن‌تی‌گوریت: آنتی‌گوریت‌ها با نسبت پایین‌تر  $\text{Mg}/\text{Si}$  نسبت به سرپانتین‌های دیگر مشخص می‌شوند (شکل ۱۴ ب) که این مسئله بهدلیل ساختار موجی متناوب (alternating wave) در آن‌هاست [۲۰] و نسبت به دیگر سرپانتین‌های موجود، از میزان  $\text{Si}$  بالاتری برخوردارند. همچنین آنتی‌گوریت‌ها نسبت به سرپانتین‌های دیگر منطقه، دارای مقدار بالاتری  $\text{Al}_2\text{O}_3$  و  $\text{H}_2\text{O}$  بوده، ولی میزان اکسید آهن در آن‌ها از سرپانتین‌های دیگر منطقه، پایین‌تر است. در خود کانی‌های آنتی‌گوریت نیز بین آنتی‌گوریت‌های زمینه و نوع رگه‌ای از لحاظ اکسید آهن و  $\text{Mg}/\#$  تفاوت چشمگیری دیده می‌شود (شکل ۱۴ پ).

چگونگی تشکیل کانی‌های گروه سرپانتین در سرپانتینیت‌های آمیزه افیولیتی بافت با توجه به بررسی‌های صحرایی، میکروسکوپی، شیمیایی و

نیز در نمونه‌های سنگی این منطقه دیده می‌شود. بخش VI (شکل ۱۶)، مرحله‌ی ششم سرپانتینی‌شدن سنگ‌ها را نشان می‌دهد. در این مرحله، پس از سرپانتینیتی‌شدن کامل دانه‌های الیوین، رشتہ‌های کریزوتیل، درون رگه‌های نازکی که چندوجهی‌های کامل سرپانتینی‌شده را قطع کرده‌اند، شروع به رشد می‌کنند. در مرحله‌ی هفتم (شکل ۱۶، بخش VII)، رگه‌های کریزوتیلی با رشتہ‌های بسیار کوتاه‌تر از رشتہ‌های مرحله‌ی قبل، رگه‌های کریزوتیلی، مرحله‌ی ششم را قطع می‌کنند.

فرورانش و یا فرارانش پوسته اقیانوسی و تشکیل آنتی‌گوریت: در این مرحله احتمالاً پوسته‌ی اقیانوسی نائین-بافت، شروع به فرورانش می‌کند. فرورانش در این منطقه، توسط شده است. با وجود شرایط مطلوب و افزایش دما و فشار، آنتی‌گوریت  $\pm$  تالک روی بافت‌های قبلی شروع به رشد می‌کند. پیشرفت سرپانتینی‌شدن منجر به تشکیل تیغه‌های درهم-رشدکرده‌ی آنتی‌گوریت می‌شود. بنا بر عقیده-González و همکاران [۲۳]، بافت‌های درهم‌فرورفتة می‌توانند در زمان بالاً‌مدن سرپانتینیت‌ها و در اثر دگرگونی فهرایی ایجاد شوند و این بافت‌ها، از شکل‌های غیرسودومورفی (ناهمریختی) هستند که به وسیله‌ی آنتی‌گوریت ساخته می‌شود و علاوه بر فرایند بالا، ممکن است در زمان فرورانش پوسته‌ی اقیانوسی و یا جایگیری حاصل از برخورد نیز به وجود آید [۲۳]. با این توصیف، تشکیل آنتی‌گوریت‌های موجود در سرپانتینیت‌های منطقه، ممکن است یا مربوط به فرورانش باشد و یا در مرحله‌ی صعود سرپانتینیت‌های منطقه به سطح زمین تشکیل شده باشد.

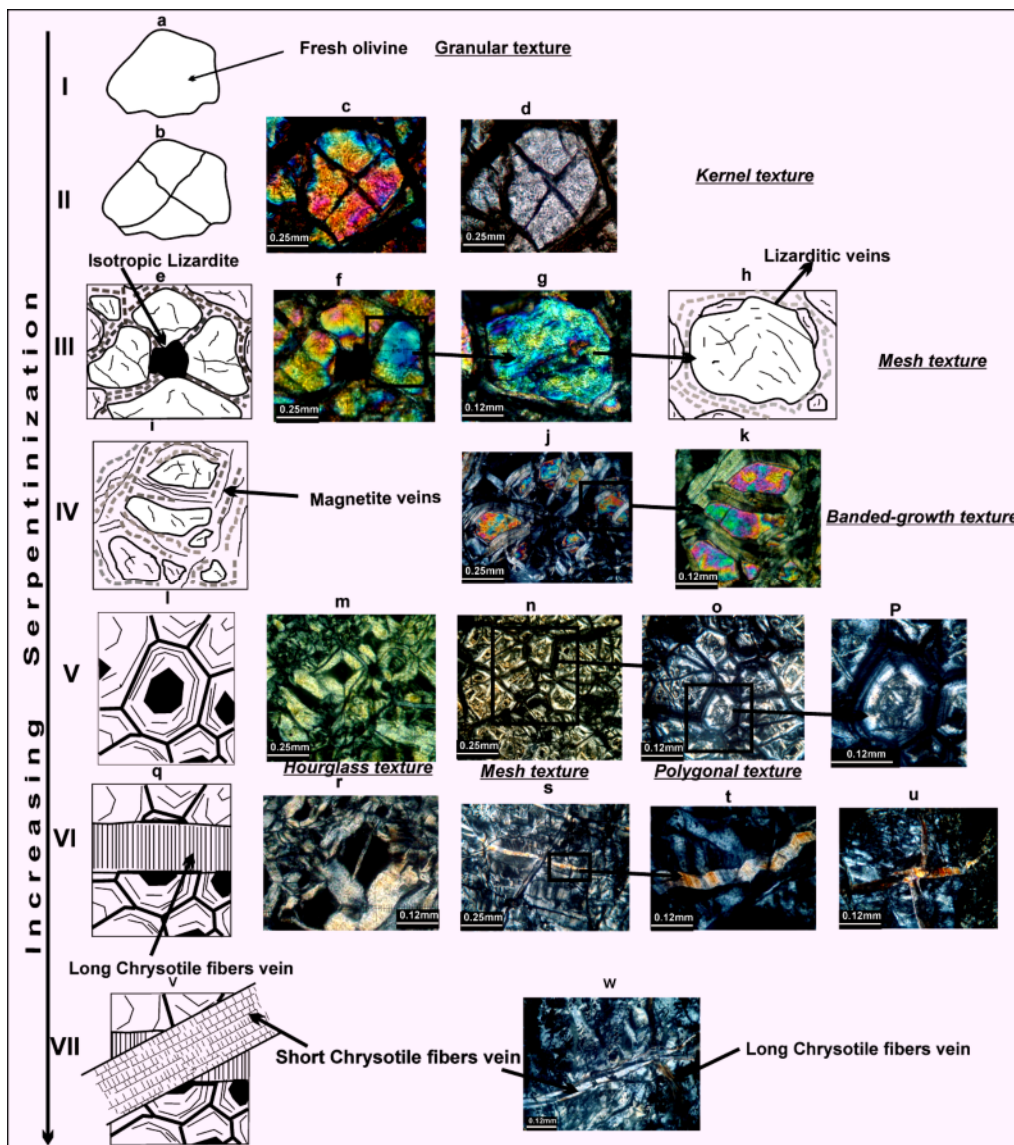
#### برداشت

ترکیب شیمیایی و بافت‌های متفاوت مشاهده شده در سرپانتینیت‌های منطقه‌ی آمیزه‌ی افیولیتی، نشان‌دهنده‌ی مراحل مختلف دگرسانی در پریدوتیت‌های گوشه‌ای اولیه است. به نظر می‌رسد که لیزاردیت و کریزوتیل موجود در سنگ‌های مورد بررسی، محصول دگرسانی ایستایی محیطی مانند کف اقیانوس هستند، در حالی که آنتی‌گوریت محصول دگرگونی دینامیکی ایجاد شده است. شبه ریخت‌های باقیمانده‌ی درشت، می‌تواند نشان‌دهنده‌ی پیشرفت سرپانتینیت‌شدن

شکستگی‌های موجود در پوسته‌ی اقیانوسی (دمای زیر ۶۰۰-۵۰۰ درجه سانتی‌گراد)، گسترش می‌یابد و یا ممکن است حاصل چرخش آب گرم در اعماق لیتوسفر اقیانوسی سرنشده در پشت‌های میان‌اقیانوسی باشد [۱]. در سرپانتینیت‌های منطقه، برای تشکیل دو کانی لیزاردیت و کریزوتیل در شرایط یاد شده، از یک سنگ سالم تا سنگ کاملاً سرپانتینی‌شده، هفت مرحله سرپانتینیتی‌شدن قابل تشخیص‌اند (شکل ۱۶). از نظر ترتیب تبلور، نخست لیزاردیت، سپس کریزوتیل با رشتہ‌های بلند و در آخر کریزوتیل با رشتہ‌های کوتاه تشکیل می‌شود. شکل ۱۶، افزایش درجه سرپانتینی‌شدن را از یک سنگ سالم تا کاملاً سرپانتینی‌شده و چگونگی رشد کانی‌های لیزاردیت و کریزوتیل را نشان می‌دهد. سرپانتینی‌شدن در این سنگ‌ها می‌تواند از یک دانه‌ی الیوین سالم شروع شده باشد (شکل ۱۶، مرحله I)، سپس در مرحله دوم (شکل ۱۶، مرحله II)، بلورهای الیوین می‌شکنند و الگوی اولیه شکستگی -که در مراحل بعدی به وسیله‌ی حاشیه‌های بافت شکه‌ای قابل تشخیص‌اند- ایجاد می‌شوند. در این مرحله سنگ به چندین قطعه چندوجهی تقسیم می‌شود که بافت نوع کرنل را ایجاد می‌کند [۱۰]. این بافت مکانی برای شروع سرپانتینی‌شدن پریدوتیتها بوسیله‌ی نفوذ محلول‌های آبی داغ است [۲۴]. در مرحله‌ی سوم (شکل ۱۶، مرحله III)، سرپانتینی‌شدن دانه‌ی الیوین در مرزها و در راستای شکستگی‌ها رخ می‌دهد و لیزاردیت شروع به رشد می‌کند. لیزاردیت‌های منطقه، بیشتر به صورت شبه فیبرهای نازکی پیرامون دانه‌ی الیوین رشد کرده‌اند. Boudier و همکاران [۱]، عقیده دارند که در سرپانتینیت‌های افیولیت عمان، رگه‌های لیزاردیتی از نظر آماری موازی یا عمود بر سطح (۰۱۰) الیوین هستند و هیچ ارتباط ساختاری که نشان‌دهنده‌ی کنترل بلورشناسی (topotaxial) باشد، بین الیوین و لیزاردیت وجود ندارد. مرحله‌ی IV (شکل ۱۶)، پیشرفت سرپانتینیتی‌شدن به سمت مرکز دانه‌های الیوین را نشان می‌دهد که با ایجاد رشد بافت نواری همراه است. در واقع این بافت، رشد چندمرحله‌ای لیزاردیت در داخل چندوجهی‌ها و به سمت مرکز دانه‌ی الیوین را نشان می‌دهد. مرحله‌ی V (شکل ۱۶)، سرپانتینیتی‌شدن کامل دانه‌ی الیوین را نشان می‌دهد. در این مرحله الیوین پس از سرپانتینیتی‌شدن کامل، بافت شبکه‌ای و یا ساعت شنی را می‌سازد [۸] و هیچ اثری از الیوین باقی نمی‌ماند. علاوه بر این دو نوع بافت، بافت چندوجهی و نواری

سرپانتینیتی شده در زمان‌های بعدی وابسته باشد، ولی در مورد لیزاردیت و کریزوتیل به نظر می‌رسد که باید پیش از بسته شدن اقیانوس کوچک نائین-بافت و در شرایط دگرگونی درجای کف اقیانوس تشکیل شده باشد.

اقیانوسی در شرایط غیرکوهزایی باشد که در آن لیزاردیت و کریزوتیل فازهای پایدار هستند [۲]. شاید بتوان گفت که تشکیل آنتی‌گوریت در سرپانتینیت‌های منطقه یا مربوط به فرورانش پوسته‌ی اقیانوسی اقیانوس کوچک نائین-بافت و بسته شدن آن باشد، و یا به فرارانش پریدوتیت‌های



شکل ۱۶ افزایش درجه‌ی سرپانتینیتی شدن در سنگ‌های پریدوتیتی آمیزه‌ی افیولیتی بافت را در هفت مرحله نشان می‌دهد. مرحله‌ی I: تشکیل الیوین با بافت دانه‌ای. مرحله‌ی II: شکستگی در دانه‌ی الیوین و تشکیل بافت کرنل. مرحله‌ی III: شروع سرپانتینیتی شدن و تشکیل لیزاردیت در راستای شکستگی‌ها که با ایجاد بافت شبکه‌ای همراه است. مرحله‌ی IV: افزایش رشد رگه‌های لیزاردیتی به سمت مرکز دانه‌ی الیوین و باقی‌ماندن الیوین سالم در وسط که بافت نواری را می‌سازد. مرحله‌ی V: افزایش رشد لیزاردیت‌ها تا ازین بردن کامل دانه‌ی الیوین. در این مرحله، بقایای الیوین‌های سالم نیز کاملاً از بین رفته و با لیزاردیت و یا گاهی سرپانتین‌های همسانگرد (شکل m) جایگزین شده است. این مرحله با ایجاد بافت ساعت شنبی، شبکه‌ای و چندوجهی همراه است که فاقد هسته‌الیوینی هستند. مرحله VI: رشد کریزوتیل با رشتله‌های بلند بر روی بافت‌های مرحله VII: رشد چندمرحله‌ای کریزوتیل با رشتله‌های کوتاهتر در یک رگه و قطع رگه‌های کریزوتیلی با رشتله‌های بلند وابسته به مرحله قبل. تمامی تصاویر میکروسکوپی جز شکل d در نور تداخلی گرفته شدند (شکل d در نور طبیعی می‌باشد).

- [12] Wicks F.J., Whittaker E. J. W., "Serpentine textures and serpentinasation", Canadian Mineralogist, 15 (1977) 459-488.
- [13] Moore D.E., Lockner D.A., Ma Shengli, Summers R., Byerlee J.D. "Strength of chrysotile-serpentinite gouge under hydrothermal conditions. Can it explain a weak San Andreas fault?", Geology, 24 (1996) 1041-1044.
- [14] Passchier C.W., Truw R.A.J., "Micro-tectonics", Berlin, Springer- Verlag (1998) 289 p.
- [15] Güarterkin G., Albayrak, M., "Thermal reaction of antigorite: A XRD, DTA-TG work", Mineral Res. Exp., Bull, 133(2006) 41-49.
- [16] Ashwal, L. D., Cairncross B., "Mineralogy and origin of stichtite in chromite-bearing serpentinites", Contributions to Mineralogy and Petrology, 127 (1997) 75-86.
- [17] Hajialioghli R., Moazzen M., Droop G.T.R., Oberhänsli R., Bousquet R., Jahangiri A., Ziemann M., "Serpentine polymorphs and P-T evolution of metaperidotites and serpentinites in the Takab area, NW Iran", Mineralogical Magazine, 71 (2007) 203-222.
- [18] Hey M.H., "A new review of the chlorites", Mineralogical Magazine, 30 (1954) 277-292.
- [19] Pelletier L., Vils V., Kalti A. and Gmeling K., "Li, B and Be Contents of Harzburgites from them Dramala Complex (Pindos Ophiolite, Greece): Evidence for a MOR-type Mantle in a Supra-subduction Zone Environment", Journal of Petrology, 49 (2008) 2043-2080.
- [20] Whittaker E. J. W., Wicks F. S., "Chemical differences among serpentine polymorphs: a discussion", American mineralogist, 55 (1970) 1025-47.
- [21] O'Hanley D. S., "Serpentinites- Records of Tectonic and Petrological History", Oxford University Press, (1996) 277.
- [22] Ghasemi C.J. Talbot, "A new tectonic scenario for the Sanandaj-Sirjan Zone (Iran)", J. of Asian Earth Sciences, 26 (2006) 683-693.
- [23] González-Mancera G., Ortega-Gutiérrez F., Proenza J. A., Atudorei V., "Petrology and geochemistry of Tehuitzingo serpentinites (Acatlán Complex, SW Mexico)", Boletín de la Sociedad Geológica Mexicana, 61 (2009) 419-435.
- [24] O'Hanley D.S., Offer R., "Characterisation of multiple serpentinitizations, Woodsreef, New South Wales", Canadian Mineralogist, 30 (1992) 1113-1126.
- [25] Wicks F.J., Plant A.G., "Electron-microprobe and x-ray microbeam studies of serpentinite textures", Canadian Mineralogist, 17 (1979) 785-830.3

### قدرتانی

در اینجا لازم است از همکاری‌های بی‌دربیگ پرسور هینز گانتر استج و دکتر فرحتناز دلیران از دانشگاه کارلسروهه آلمان و دکتر سیما پیغمبری از دانشگاه شهید باهنر کرمان تقدیر و تشکر نماییم.

### مراجع

- [1] Boudier F., Baronnet A., Mainprice D., "Serpentine Mineral Replacements of Natural Olivine and their Seismic Implications: Oceanic Lizardite versus Subduction-Related Antigorite", Journal of Petrology (2009) Doi:10.1093/petrology/egp<sup>049</sup>.
- [2] Facer J., Downes H., Beard, A., "In situ Serpentinitization and Hydrous Fluid Metasomatism in Spinel Dunite Xenoliths from the Bearpaw Mountains, Montana, USA", Journal of Petrology, 50 (2009) 1443-1475.
- [3] Davoudzadeh M., "Geology and Petrography of the Area North of Nain, Central Iran", Geological Survey of Iran Report, 14 (1972) 89.
- [4] Berberian M., King, G.C.P., "towards a paleogeography and tectonic evolution of Iran", Canadian J. of Earth Sciences, 18 (1981) 210-265.
- [5] Desmons J., Beccaluva L., "Mid-ocean ridge and island arc affinities in ophiolites from Iran Paleographic implications", Chemical Geology, 39 (1983) 39- 63.
- [6] Shahabpour J., "Tectonic evolution of the orogenic belt in the region located between Kerman and Neyriz", Journal of Asian Earth Science, 24 (2005) 405-417.
- [7] Prichard H. M., "A Petrographic Study of the Process of Serpentinitization in Ophiolites and the Ocean Crust", Contributions to Mineralogy and Petrology, 68 (1979) 231-241.
- [8] Wicks F. J., Whittaker E.J.W., Zussman j., "An idealized model for serpentine textures after olivine", Canadian Mineralogist, 15 (1977) 446-458.
- [9] Wang X., Zeng Z., Chen J., "Serpentinitization of peridotites from the southern Mariana forearc", Progress in Natural Science, 19 (2009) 1287-1295.
- [10] Hopkinson L., Beard J. S., Boulter C. A., "The hydrothermal plumbing of a serpentinite-hosted detachment: evidence from the West Iberia non-volcanic rifted continental margin, Marine Geology, 204 (2004) 1-15.
- [11] Francis G.H., "The serpentinite mass in Glen Urquhart, Inverness-shire, Scotland", American Journal of Science, 254 (1956) 201-226.